

(150) 人工疵による鋼材表面疵の追跡

トピー工業 東京製造所

福田栄一 石田 徹

桑島英明 ○大森敏堂

1. 緒言

熱間圧延鋼材に発生する表面疵については、研究因子が多く、材質或は加熱に基因する表面疵の場合もあるが、圧延加工によって生ずる機械的原因の疵も相当多いことが認められる。特に後者の場合複雑な問題を含むため異形鋼材に於いては表面疵防止対策の徹底と同時にその合理的な実施が要望せられる。然しながら素材から製品までの圧延過程に於て製品断面形状によつて疵として成長しやすい位置と成長しにくい位置がある。よつて著者らは異形鋼につき素材断面位置と圧延製品に於ける疵発生位置との関係を追跡し効果的な表面疵発生防止対策を行なつた。

2. 実験方法

供試鋼塊は断面 $194 \times 194 \text{ mm}$ 単重 420 kg のもので人工疵の種類としてはフレージング及びプローホルが密集している状態を想定したものそれに人工気泡の3種である。後者については製品形状を考慮し断面 $250 \times 180 \text{ mm}$ 単重 450 kg の扁平鋼塊も使用しその比較を行なつた。

3. 実験結果

(1) フレージング: 20 mm 程度以上のフレージングはヘゲ疵になる。その形態は圧延過程の粗ロールに原因を有する笠葉状のものとは区別できる鱗状のヘゲになる。

(2) 密集プローホル: 気泡はすべてあな埋めせず開孔としたため鋼塊に於て特に内部気泡が露出酸化した場合に似せて考えられるが製品に於ける疵の残存傾向はヘゲ疵である。

(3) 人工気泡: 人工気泡の鋼塊から製品への追跡結果の例を図.1に示す。製品断面に於て $420 \text{ kg}, 450 \text{ kg}$ 鋼塊とも左右側面の疵の数は多く分布密度は大きくなっている。またこの位置に存在する密集プローホルはヘゲ疵に成長し易い。疵の形態は写真.1の如く A-B面の疵は圧着せず開孔性 C-D面は加圧方向に傾斜し表面は尖鋸である。疵の深さと幅拡がり率について1例を示せば図.2の通りである。C-D側面部の疵の残存性は粗ロール段階の疵の深さによって決まると言えてよく、圧延比と粗ロールパス方式を変更することにより表面疵の軽減に対する有効な結論を得た。



(450kg, 21 4mm A4) 写真.1 (420kg, 21 4mm D4).
Kai I: カリバー

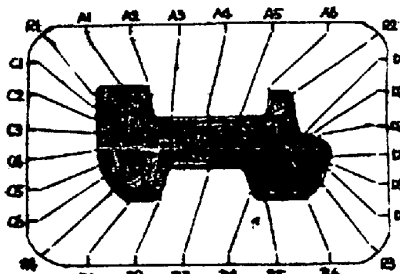
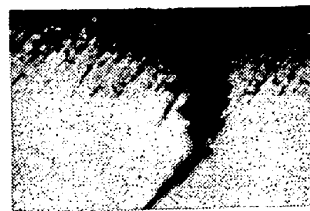


図.1 鋼塊在の表面疵跡

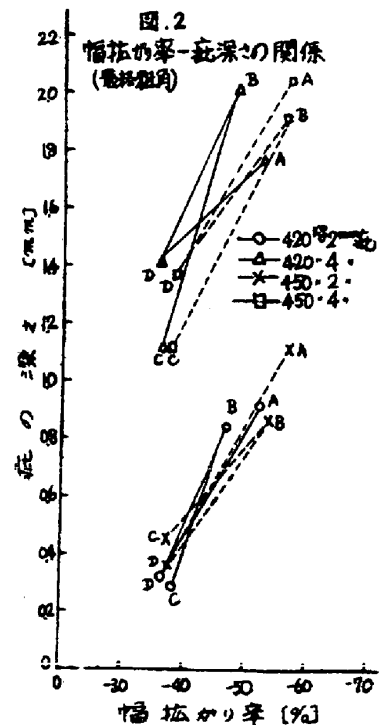


図.2 幅拡がり率-疵深さの関係
(粗ロール期)